

Restauration d'objets astrophysiques à partir de données multispectrales floues et une réponse instrument non stationnaire

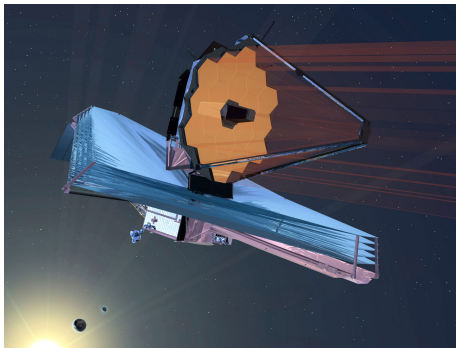
Mohamed Amine HADJ-YOUCÉF ^{1,2}
François ORIEUX^{1,2} Aurélia FRAYSSE¹ Alain ABERGEL ²

¹Laboratoire des Signaux et Systèmes (L2S)
CNRS, CentraleSupélec, Université Paris-Saclay

²Institut d'Astrophysique Spatiale (IAS)
CNRS, Univ. Paris-Sud, Université Paris-Saclay

19 Avril 2017

Contexte



Télescope	JWST
Organisation	NASA (ESA, CSA)
Lancement	Oct. 2018
Budget	10 Milliard US\$

- Principales objectifs de la mission :
 - Étudier la formation et évolution des galaxies
 - Comprendre la formation des étoiles et les systèmes planétaires

Plan de travail

- 1 Introduction
- 2 Problématique
- 3 Méthodologie
 - Modèle de l'instrument
 - Modèle direct
 - Inversion
- 4 Résultats préliminaire
- 5 Conclusion



Problèmes et objectif

Problèmes

- Limitation de la résolution spatiale par la réponse optique
- Variation de la réponse optique en λ
- Intégration spectrale de l'objet sur une large bande (filtre + détecteur)

Objectif

- Reconstruction de l'objet spatio-spectral original en exploitant l'ensemble de données à différentes bandes spectrales

Problèmes et objectif

Problèmes

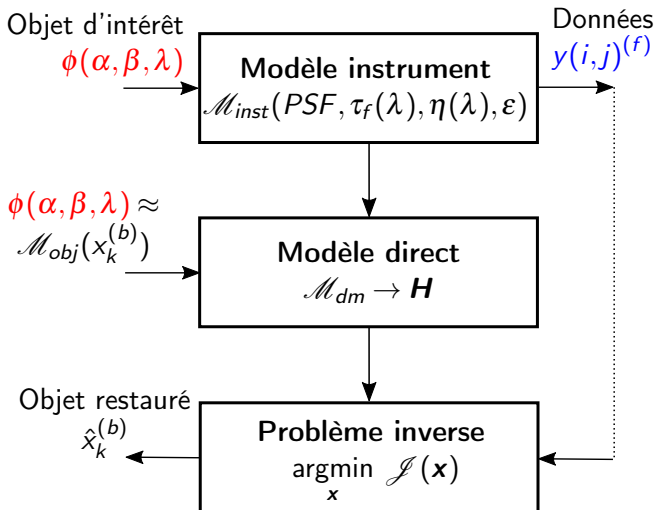
- Limitation de la résolution spatiale par la réponse optique
- Variation de la réponse optique en λ
- Intégration spectrale de l'objet sur une large bande (filtre + détecteur)

Objectif

- Reconstruction de l'objet spatio-spectral original en exploitant l'ensemble de données à différentes bandes spectrales

Contenu

- 1 Introduction
- 2 Problématique
- 3 Méthodologie**
 - Modèle de l'instrument
 - Modèle direct
 - Inversion
- 4 Résultats préliminaire
- 5 Conclusion



Modèle de l'instrument (1/4)

- Réponse du système optique

$$\phi_{opt}(\alpha, \beta, \lambda) = \phi(\alpha, \beta, \lambda) \underset{(\alpha, \beta)}{\star} h(\alpha, \beta, \lambda)$$

$h(\alpha, \beta, \lambda)$: réponse optique, ou PSF (Point Spread Function)

$\lambda_1 = 5.60 \mu m$



$\lambda_2 = 7.70 \mu m$



$\lambda_3 = 10.00 \mu m$



$\lambda_4 = 11.30 \mu m$



$\lambda_5 = 12.80 \mu m$



$\lambda_6 = 15.80 \mu m$



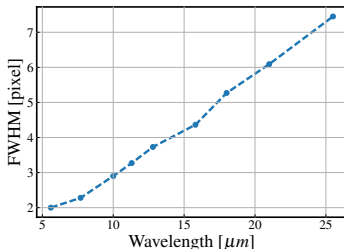
$\lambda_7 = 18.00 \mu m$



$\lambda_8 = 21.00 \mu m$



$\lambda_9 = 25.50 \mu m$



Modèle de l'instrument (2/4)

- Réponse du filtre

$$\phi_{filt}^{(f)}(\alpha, \beta, \lambda) = \tau_f(\lambda) \phi_{opt}(\alpha, \beta, \lambda)$$

$\tau_f(\lambda)$: Transmission du filtre. $f \in [1, n_f]$ indice du filtre

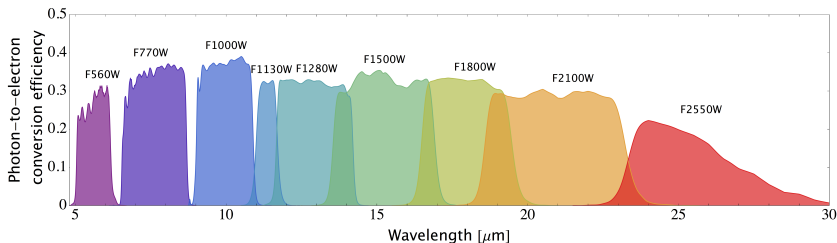


Figure – Filtres de l'imageur de MIRI, source : jwst-docs.stsci.edu

Modèle de l'instrument (3/4)

- Réponse du détecteur :

$$y^{(f)}(i,j) = \iint_{\Omega_{pix_{i,j}}} \left[\int_{\mathbb{R}_+} \eta(\lambda) \phi_{filt}^{(f)}(\alpha, \beta, \lambda) d\lambda \right] b_{det}(\alpha - \alpha_{i,j}, \beta - \beta_{i,j}) d\alpha d\beta \\ + \varepsilon_{i,j}^{(f)},$$

avec $\varepsilon_{i,j}^{(f)}$ est un terme d'erreur.

Modèle de l'instrument (4/4)

Équation complète

$$y^{(f)}(i,j) = \iint_{\Omega_{pix_{i,j}}} \left[\int_{\mathbb{R}_+} \eta(\lambda) \tau_f(\lambda) \phi(\alpha, \beta, \lambda) \underset{(\alpha, \beta)}{\star} h(\alpha, \beta, \lambda) d\lambda \right] b_{det}(\alpha - \alpha_{i,j}, \beta - \beta_{i,j}) d\alpha d\beta$$

Modèle de l'instrument proposé (optique + filtre + détecteur)

$$y^{(f)}(i,j) = \Delta^2 \int_{\mathbb{R}_+} \eta(\lambda) \tau_f(\lambda) \phi(i,j,\lambda) \underset{(i,j)}{\star} h(i,j,\lambda) d\lambda$$

Différence avec les travaux existants

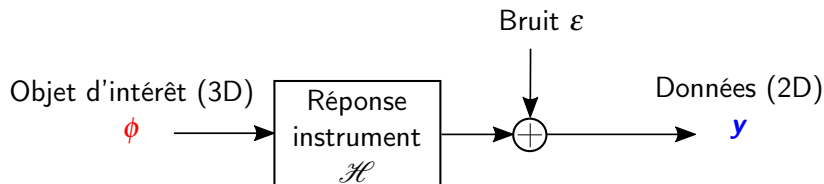
① Variation en λ de la PSF

- PSF 2D mesurée [BGML⁺15, GRR⁺10]
- PSF 2D à large bande [ADGS11, GL10]
- > Interpolation linéaire de PSF [STD13]
- > Approximation de PSF [VC14]

② Traitement de données filtre par filtre

$$y^{(f)}(i,j) = \phi(i,j) \underset{(i,j)}{\star} h_{Large}(i,j)$$

Modèle direct (1/4)

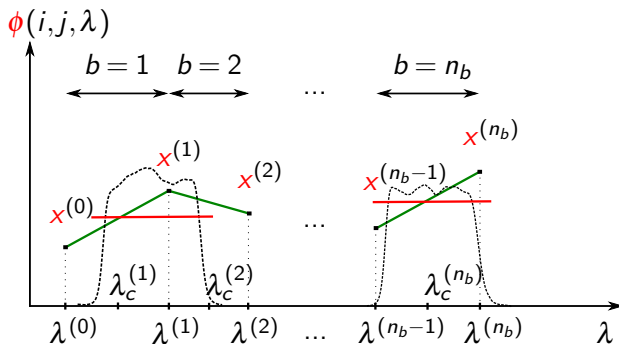


$$y^{(f)} = \mathcal{H}(\phi) + \varepsilon^{(f)}$$

$\varepsilon^{(f)} \in \mathbb{R}^N$: erreur

Modèle direct (2/4)

- Pour le pixel (i, j)



- Spectre linéaire par morceau continue
- Traitement conjoint de l'ensemble de données multi-filtre

Modèle direct (3/4)

- Mise en équation de spectre linéaire par morceau

$$\phi_{i,j}(\lambda) \simeq \sum_{b=1}^{n_b} \left(x_{i,j}^{(b)} g_+^{(b)}(\lambda) + x_{i,j}^{(b-1)} g_-^{(b)}(\lambda) \right) \mathbb{1}_{[\lambda^{(b-1)}, \lambda^{(b)}]}(\lambda)$$

- Le modèle de l'instrument devient :

$$y^{(f)}(i,j) = \sum_{b=0}^{n_b} \left[h_{\text{int}}^{(f,b)} \star x_{i,j}^{(b)} \right] (i,j)$$

avec

$$h_{\text{int}}^{(f,b)}(i,j) = \int_{\mathbb{R}_+} \eta(\lambda) \tau_f(\lambda) g^{(b)}(\lambda) h(i,j,\lambda) d\lambda$$

Modèle direct (4/4) : Traitement multi-filtres

Modèle direct linéaire

- Écriture vecteur-matrice :

$$\mathbf{y}^{(f)} = \sum_{b=0}^{n_b} \mathbf{H}_{\text{int}}^{(f,b)} \mathbf{x}^{(b)}, \quad f \in [1, n_f]$$

$\mathbf{H}_{\text{int}}^{(f,b)}$ est une matrice de convolution de taille $N \times N$.

$$\begin{bmatrix} \mathbf{y}^{(1)} \\ \mathbf{y}^{(2)} \\ \vdots \\ \mathbf{y}^{(n_f)} \end{bmatrix} = \begin{bmatrix} \mathbf{H}^{(1,0)} & \mathbf{H}^{(1,1)} & \dots & \mathbf{H}^{(1,n_b)} \\ \mathbf{H}^{(2,0)} & \ddots & & \mathbf{H}^{(2,n_b)} \\ \vdots & & \ddots & \vdots \\ \mathbf{H}^{(n_f,0)} & \mathbf{H}^{(1,0)} & \dots & \mathbf{H}^{(n_f,n_b)} \end{bmatrix} \begin{bmatrix} \mathbf{x}^{(0)} \\ \mathbf{x}^{(1)} \\ \vdots \\ \mathbf{x}^{(n_b)} \end{bmatrix} + \begin{bmatrix} \varepsilon^{(1)} \\ \varepsilon^{(2)} \\ \vdots \\ \varepsilon^{(n_f)} \end{bmatrix}$$

$$\Rightarrow \mathbf{y} = \mathbf{H}\mathbf{x} + \varepsilon.$$

Inversion (1/3)

- Calcul de la solution

$$\hat{\mathbf{x}} = \underset{\mathbf{x}}{\operatorname{argmin}} J(\mathbf{x})$$

$$J(\mathbf{x}) = \|\mathbf{y} - \mathbf{H}\mathbf{x}\|_2^2 + \underbrace{\sum_{b=0}^{n_b} \mu_b \left\| \mathbf{D}\mathbf{x}^{(b)} \right\|_2^2}_{\|\mathbf{C}\mathbf{x}\|_2^2}$$

$\mathbf{C} = \operatorname{diag}\{\sqrt{\mu_0}\mathbf{D}, \dots, \sqrt{\mu_{n_b}}\mathbf{D}\}$. $\mu_0 \dots \mu_{n_b}$ sont les paramètres de régularisation et \mathbf{D} est un opérateur de différence 2D (solutions spatialement lisses).

- Estimateur linéaire

$$\hat{\mathbf{x}} = (\mathbf{H}^t \mathbf{H} + \mathbf{C}^t \mathbf{C})^{-1} \mathbf{H}^t \mathbf{y}$$

Inversion (2/3)

- Diagonalisation en Fourier : Approximation circulante

$$\mathbf{H}^{(f,b)} \simeq \mathbf{F}^\dagger \mathbf{\Lambda}_h^{(f,b)} \mathbf{F}, \quad \mathbf{D} \simeq \mathbf{F}^\dagger \mathbf{\Lambda}_d \mathbf{F}$$

$$\begin{aligned} \hat{\ddot{\mathbf{x}}} &= (\mathbf{\Lambda}_h^t \mathbf{\Lambda}_h + \mathbf{\Lambda}_c^t \mathbf{\Lambda}_c)^{-1} \mathbf{\Lambda}_h^t \ddot{\mathbf{y}} \\ &= \left[\begin{array}{cc} \sum_{f=1}^{n_f} |\mathbf{\Lambda}_h^{(f,0)}|^2 + \mu_0 |\mathbf{\Lambda}_d|^2 & \dots & \sum_{f=1}^{n_f} \mathbf{\Lambda}_h^{\dagger(f,0)} \mathbf{\Lambda}_h^{(f,n_b)} \\ \vdots & \ddots & \vdots \\ \sum_{f=1}^{n_f} \mathbf{\Lambda}_h^{\dagger(f,n_b)} \mathbf{\Lambda}_h^{(f,0)} & \dots & \sum_{f=1}^{n_f} |\mathbf{\Lambda}_h^{(f,n_b)}|^2 + \mu_{n_b} |\mathbf{\Lambda}_d|^2 \end{array} \right]^{-1} \mathbf{\Lambda}_h^{\dagger} \ddot{\mathbf{y}} \end{aligned}$$

Matrice de taille $(n_b + 1)N \times (n_b + 1)N$, lourd à inverser pour $n_b > 4$!

Inversion (3/3)

- Algorithme d'optimisation : Système linéaire à résoudre

$$\underbrace{\left(\Lambda_h^\dagger \Lambda_h + \Lambda_c^\dagger \Lambda_c \right)}_{\hat{Q}} \hat{\mathbf{x}} = \Lambda_h^\dagger \hat{\mathbf{y}}$$

$$\hat{Q} \hat{\mathbf{x}} = \begin{bmatrix} \sum_{f=1}^{n_f} \Lambda_h^{\dagger(f,0)} \left(\sum_{i=0}^{n_b} \Lambda_h^{(f,i)} \hat{\mathbf{x}}^{(i)} \right) + \mu_0 \Lambda_d^\dagger \Lambda_d \hat{\mathbf{x}}^{(0)} \\ \vdots \\ \sum_{f=1}^{n_f} \Lambda_h^{\dagger(f,n_b)} \left(\sum_{i=0}^{n_b} \Lambda_h^{(f,i)} \hat{\mathbf{x}}^{(i)} \right) + \mu_{n_b} \Lambda_d^\dagger \Lambda_d \hat{\mathbf{x}}^{(n_b)} \end{bmatrix}$$

$$\Lambda_h^\dagger \hat{\mathbf{y}} = \begin{bmatrix} \sum_{f=1}^{n_f} \Lambda_h^{\dagger(f,0)} \hat{\mathbf{y}}^{(f)} \\ \vdots \\ \sum_{f=1}^{n_f} \Lambda_h^{\dagger(f,n_b)} \hat{\mathbf{y}}^{(f)} \end{bmatrix}$$

Contenu

- 1 Introduction
- 2 Problématique
- 3 Méthodologie
 - Modèle de l'instrument
 - Modèle direct
 - Inversion
- 4 Résultats préliminaire
- 5 Conclusion

Résultats : Information spectrale

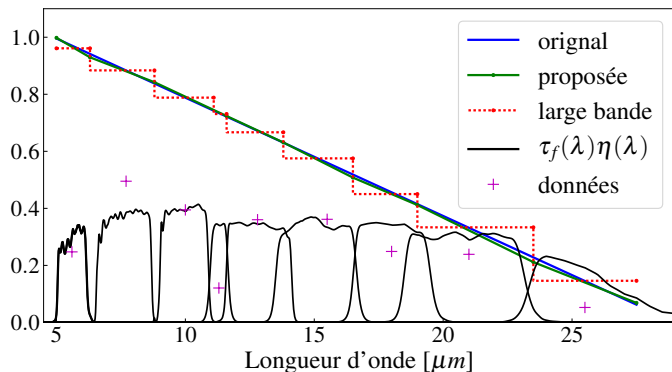


Figure – Illustration de la restauration spectrale

Résultats : Information spatiale

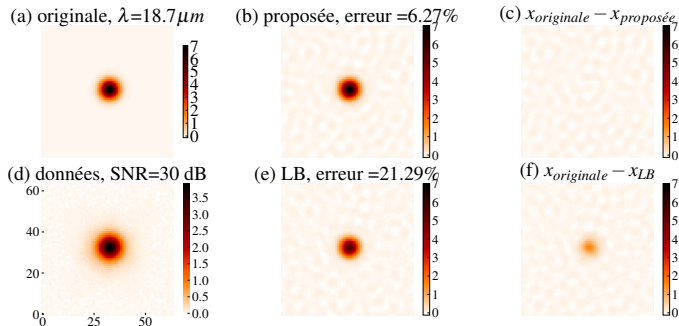


Figure – Illustration de la restauration spatiale sur des coupes à $\lambda = 18.7 \mu m$

Résultats : Information spatiale

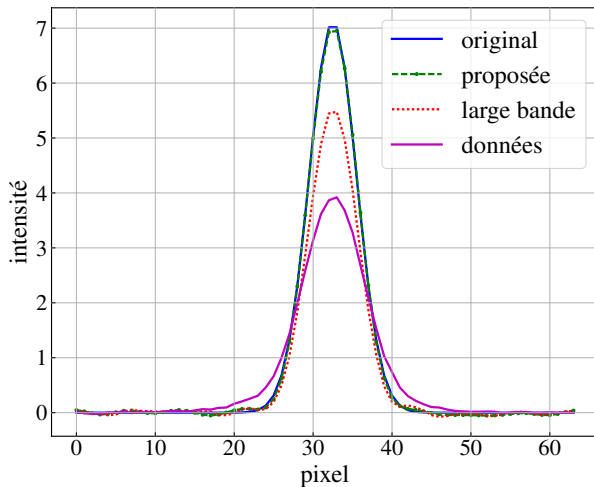


Figure – Illustration de la restauration spatiale sur des coupes à $\lambda = 18.7\mu m$

Contenu

- 1 Introduction
- 2 Problématique
- 3 Méthodologie
 - Modèle de l'instrument
 - Modèle direct
 - Inversion
- 4 Résultats préliminaire
- 5 Conclusion

Conclusion et perspectives

Résumé

- Modèle de l'instrument d'imageur prenant en compte la variation en λ de la PSF et de large intégration spectrale
- Modèle direct est obtenu par un traitement conjoint de données multi-filtre/instrument et choix du modèle linéaire par morceau
- Augmentation de résolution spatial et de l'information spectrale

Perspective

- Généralisation du modèle de l'objet et le modèle direct
- Ajout d'a priori spectrale afin de restauré un objet avec un échantillonnage spectrale plus fin
- Test sur des objets astrophysiques réalistes

Fin

Merci de votre attention

Références I

- [ADGS11] G Aniano, BT Draine, KD Gordon, and K Sandstrom.
Common-resolution convolution kernels for space-and
ground-based telescopes.
Publications of the Astronomical Society of the Pacific,
123(908) :1218, 2011.
- [BGML⁺15] Patrice Bouchet, Macarena García-Marín, P-O Lagage,
Jérôme Amiaux, J-L Auguères, Eva Bauwens, JADL
Blommaert, CH Chen, ÖH Detre, Dan Dicken, et al.
The Mid-Infrared Instrument for the James Webb Space
Telescope, III : MIRIM, The MIRI Imager.
Publications of the Astronomical Society of the Pacific,
127(953) :612, 2015.

Références II

- [GL10] N Geis and D Lutz. Herschel/PACS modelled point-spread functions . http://herschel.esac.esa.int/twiki/pub/Public/PacsCalibrationWeb/PACSPSF_PICC-ME-TN-029_v2.0.pdf, 2010.
- [GRR⁺10] Pierre Guillard, Thomas Rodet, S Ronayette, J Amiaux, Alain Abergel, V Moreau, JL Augueres, A Bensalem, T Orduna, C Nehmé, et al. Optical performance of the jwst/miri flight model : characterization of the point spread function at high resolution. In *SPIE Astronomical Telescopes+ Instrumentation*, pages 77310J–77310J. International Society for Optics and Photonics, 2010.

Références III

- [STD13] Ferréol Soulez, Eric Thiébaud, and Loïc Denis.
Restoration of hyperspectral astronomical data with spectrally varying blur.
EAS Publications Series, 59 :403–416, 2013.
- [VC14] E. Villeneuve and H. Carfantan.
Nonlinear deconvolution of hyperspectral data with mcmc for studying the kinematics of galaxies.
IEEE Transactions on Image Processing, 23(10) :4322–4335, Oct 2014.